

# 地 理

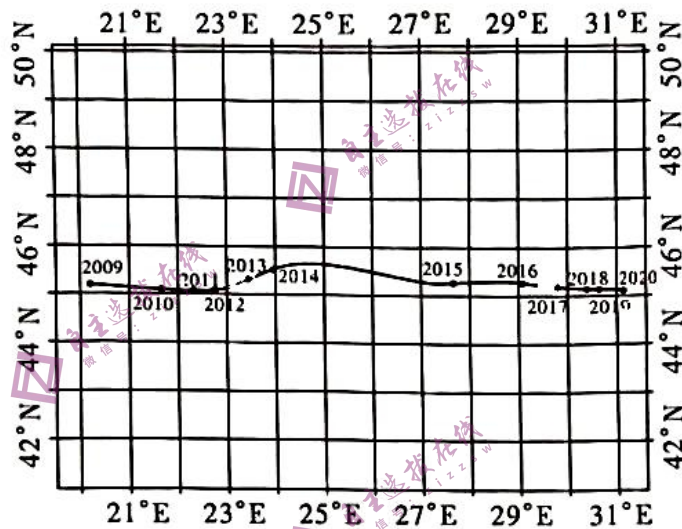
时量:75 分钟 满分:100 分

得分: \_\_\_\_\_

## 第 I 卷 选择题(共 48 分)

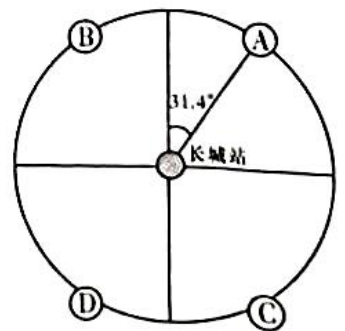
一、选择题(本题共 16 小题,每小题 3 分,共 48 分。在每小题给出的四个选项中,只有一项是符合题目要求的)

下图为 2009—2020 年世界滑雪场数量重心变化特征分布图。据此完成 1~3 题。



- 2009—2020 年全球滑雪场数量重心的移动距离约为  
A. 680 km      B. 860 km      C. 1040 km      D. 1220 km
- 距离全球滑雪场数量重心轨迹最近的山脉是  
A. 喜马拉雅山脉      B. 乌拉尔山脉  
C. 阿尔卑斯山脉      D. 斯堪的纳维亚山脉
- 全球滑雪场数量重心东移的主要原因是  
A. 南美地区滑雪场数量增加      B. 亚洲地区滑雪场数量增加  
C. 北美地区滑雪场数量增加      D. 欧洲地区滑雪场数量增加

中国南极长城站( $62^{\circ}12'59''S, 58^{\circ}57'52''W$ )位于西南极乔治王岛的菲尔德斯半岛南端。右图示意该站 6 月 22 日和 12 月 22 日太阳日出、日落变化规律(A 点方位角为  $31.4^{\circ}$ )。方位角是从某点的指北方向线起,依顺时针方向到目标方向线之间的水平夹角。据此完成 4~5 题。



- 12 月 22 日,长城站日出方位角为  
A.  $31.4^{\circ}$       B.  $148.6^{\circ}$       C.  $211.4^{\circ}$       D.  $328.6^{\circ}$

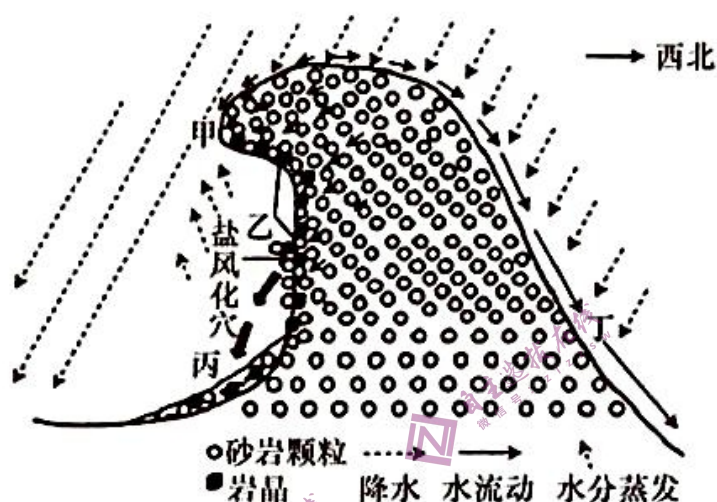
学 号 \_\_\_\_\_ 姓 名 \_\_\_\_\_ 班 级 \_\_\_\_\_ 年 级 \_\_\_\_\_

密 封 线 内 不 要 答 题

5. 自6月22日至12月22日,太阳日落方位

- A. 从A点向C点迁移                      B. 从C点向A点迁移  
C. 从B点向D点迁移                      D. 从D点向B点迁移

盐风化作用是指因岩石孔隙(或裂隙)中的盐类结晶膨胀而导致的岩石露头表面颗粒分解或脱落的物理风化作用。盐风化作用在地貌上表现为形成大小不等的风化穴,小的为厘米级,大的可以达到几米。我国东部海岸带和西北干旱区盐风化作用形成的地貌尤为明显。下图为我国西北某地盐风化穴示意图。据此完成6~7题。



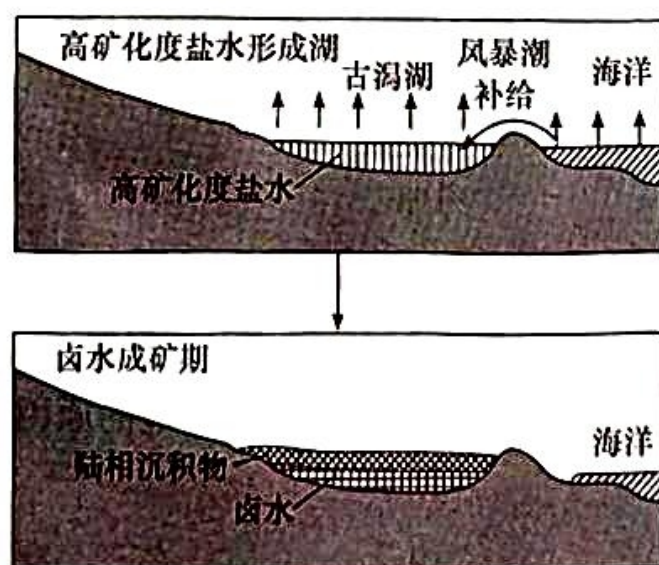
6. 在甲、乙、丙、丁四处中,以沉积作用为主的是

- A. 甲                      B. 乙                      C. 丙                      D. 丁

7. 图中西北侧盐风化穴比东南侧发育弱是因为西北侧

- A. 日照较差                      B. 降水量少  
C. 岩石坚硬                      D. 坡度较大

地下卤水是一种存在于地表以下岩石或沉积物中盐类含量大于5%的液态矿产。渤海南岸的某地地下卤水矿储量丰富。研究发现,该地为古泻湖,地层中有三个卤水层,卤水层的形成过程伴随着冰期、间冰期的转化。下图示意该地卤水矿的形成过程。据此完成8~9题。



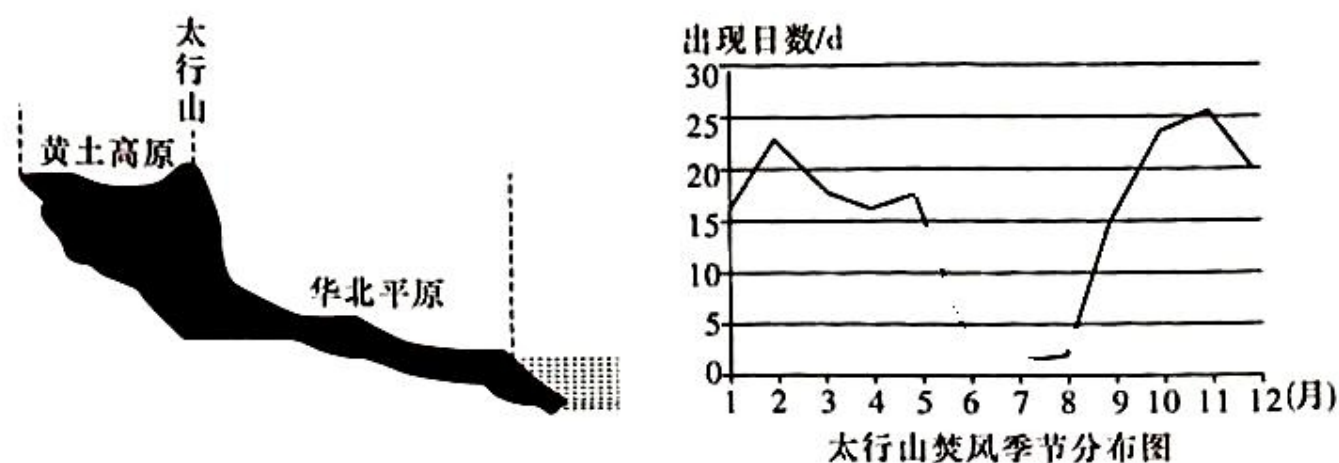
8. 该地卤水矿的主要物质来源及成矿时期是

- A. 海洋 暖湿的间冰期                      B. 陆地 冷干的冰期  
C. 海洋 冷干的冰期                      D. 陆地 暖湿的间冰期

9. 该地卤水矿形成过程中至少经历的海退次数是

- A. 2次      B. 3次      C. 4次      D. 5次

太行山脉是我国黄土高原和华北平原的地理分界线,其山麓焚风(过山气流在背风坡下沉增温形成的一种干热地方性风)较强,焚风往往以阵风形式出现,从山上沿山坡向下吹。下图为太行山东西两侧地形剖面示意及太行山山麓焚风季节分布图。据此完成10~11题。



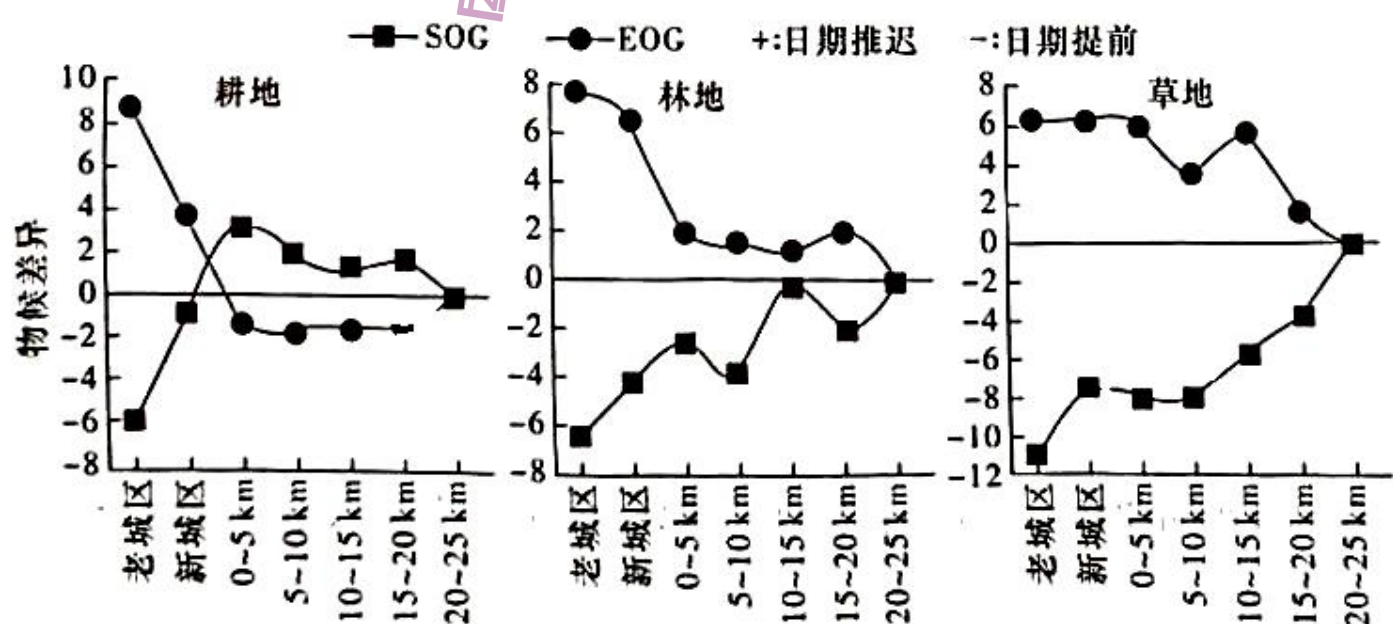
10. 太行山东西两侧焚风效应较强的坡面及焚风发生频率最高的季节是

- A. 西坡 春季      B. 西坡 夏季  
C. 东坡 秋季      D. 东坡 冬季

11. 研究发现,冬季太行山夜间焚风风速明显大于白天,其主要原因是

- A. 白天水汽含量高      B. 冬季风夜晚更强  
C. 山风与焚风叠加      D. 谷风增强风势

研究发现,植物生长季始期(SOG)、生长季结束期(EOG)和生长季长度(LOG)与城镇化显著相关。下图示意2001—2020年京津冀地区新老城区和城乡过渡带(0—20 km)与农村(20—25 km)相比,耕地、林地及草地的物候变化。城乡温度差异越大,SOG与EOG提前/推迟的幅度越大。据此完成12~14题。



12. 与农村相比,耕地、林地、草地在新老城区的物候整体呈现

- A. SOG提前,EOG推迟,LOG延长  
B. SOG提前,EOG推迟,LOG缩短  
C. SOG推迟,EOG提前,LOG延长  
D. SOG推迟,EOG提前,LOG缩短

13. 与城乡过渡带耕地 SOG 与 EOG 变化有关的因素是

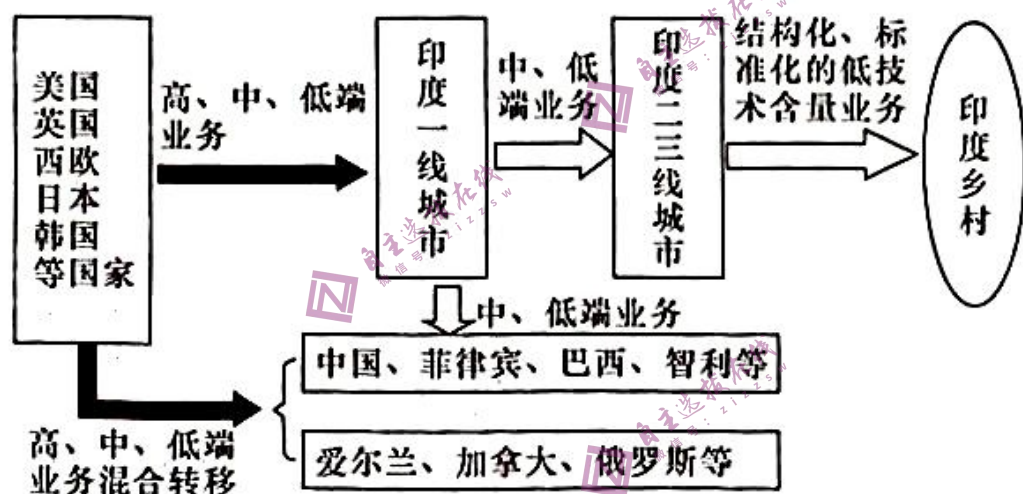
- ①全球气候变暖 ②农作物播种期 ③农作物的品种 ④城镇化的推进

- A. ①②      B. ②③      C. ①④      D. ③④

14. 以下对城乡温差响应最明显的是

- A. 0—5 km, 草地      B. 5—10 km, 耕地  
C. 10—15 km, 林地      D. 10—15 km, 草地

服务外包是指企业将价值链中原本由自身提供的具有基础性的、共性的、非核心的 IT 业务和基于 IT 的业务流程剥离出来后,外包给企业外部专业服务提供商来完成的经济活动。印度政府高度重视服务外包,现已发展成为全球最大的软件服务外包市场。2010 年以来,印度软件服务外包企业被迫进行产业梯度转移,创新运营模式,布局国内市场。下图为印度离岸软件(由外包公司开发的软件)服务外包产业转移路径图。据此完成 15~16 题。



15. 服务外包主要是为了促进企业

- A. 多元化发展      B. 核心业务发展  
C. 新兴业务发展      D. 规模化发展

16. 印度软件服务外包企业进行产业梯度转移的主要目的是

- A. 降低运营成本,升级产业结构  
B. 扩大企业规模,减少内部交易  
C. 专注制造环节,增强制造能力  
D. 增加就业机会,推动区域发展

### 第 I 卷答题卡

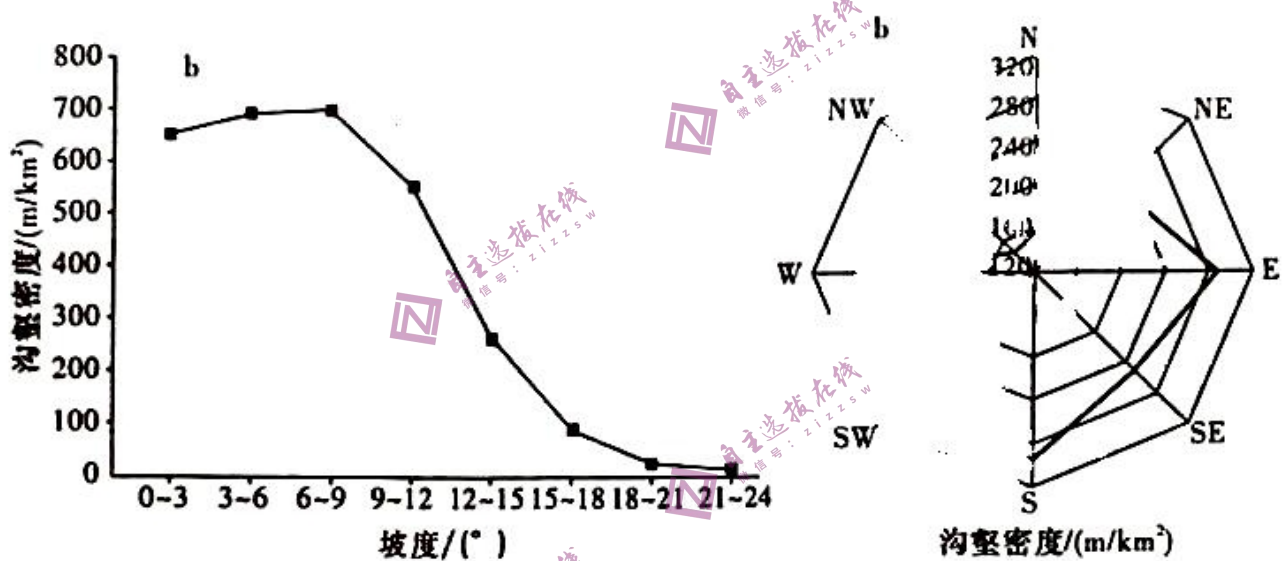
题号	1	2	3	4	5	6	7	8	9
答案									
题号	10	11	12	13	14	15	16	得分	
答案									

## 第 II 卷 非选择题(共 52 分)

### 二、非选择题(共 4 小题,共 52 分)

#### 17. 阅读图文材料,完成下列要求。(14 分)

由于高强度的农业开发和掠夺式经营,东北黑土区水土流失日益加剧。其水土流失的发生过程是因为在坡面上存在微型小坑或线状痕迹,水流汇集,产生细沟侵蚀,细沟发生后,侵蚀强度将明显增大,侵蚀沟逐渐发育,其发育速度受水量、流速及土壤状况等因素影响。研究人员调查了长白山某低山丘陵区,该地土壤受多种侵蚀外营力季节性交替和叠加的影响,以水力侵蚀为主,并存在明显的冻融作用。该地区坡度较大的地貌部位多位于山顶和山腰且坡度越大越接近山顶,而坡度较小的部位多位于山麓和河谷平原。下图为 2021 年东北低山丘陵区不同坡度与不同坡向的侵蚀沟密度变化。



(1)描述侵蚀沟密度随坡度的变化特征,并分析其原因。(5 分)

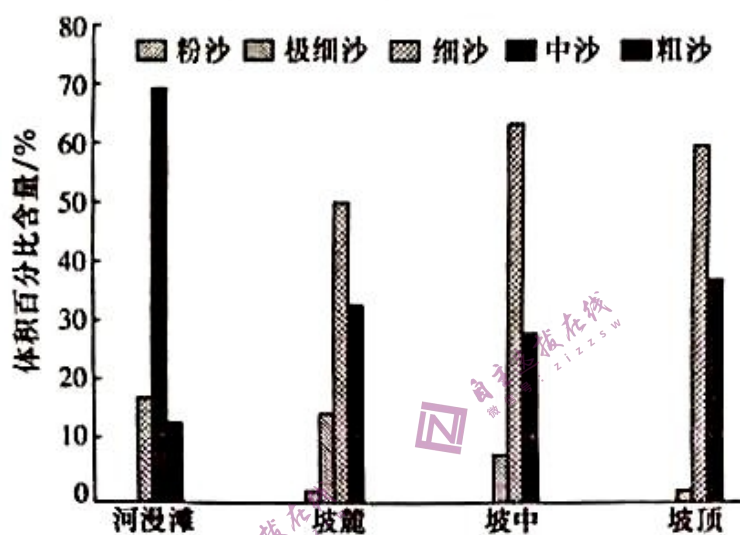
(2)指出侵蚀沟密度最大的坡向,并分析其成因。(5 分)

(3)指出侵蚀沟治理的重点区域,并简述治理方法。(4 分)

18. 阅读图文材料,完成下列要求。(14分)

1

西藏朋曲中上游河段由西向东流,河谷多宽谷,风沙地貌发育,流域内年均降水量为252—580 mm,冬春季盛行偏南风,风力强劲。粒度特征是风沙地貌过程研究的主要内容之一,蕴含了丰富的地表过程和气候变化信息,不仅可以揭示研究区的气候变化过程,而且对气候带的恢复、古大气环流的重建具有重大意义。一研究团队以朋曲流域不同地貌部位的流动沙丘为研究对象,分析沙丘表层沉积物的粒度特征,探讨其空间分异规律,为研究不同区域沙漠化防治提供科学依据。下图为朋曲河谷不同位置流动沙丘丘顶表层沉积物粒度组成示意图。



(1) 推测朋曲山坡沙丘物质的来源,并分析山坡上几乎无粗沙的原因。

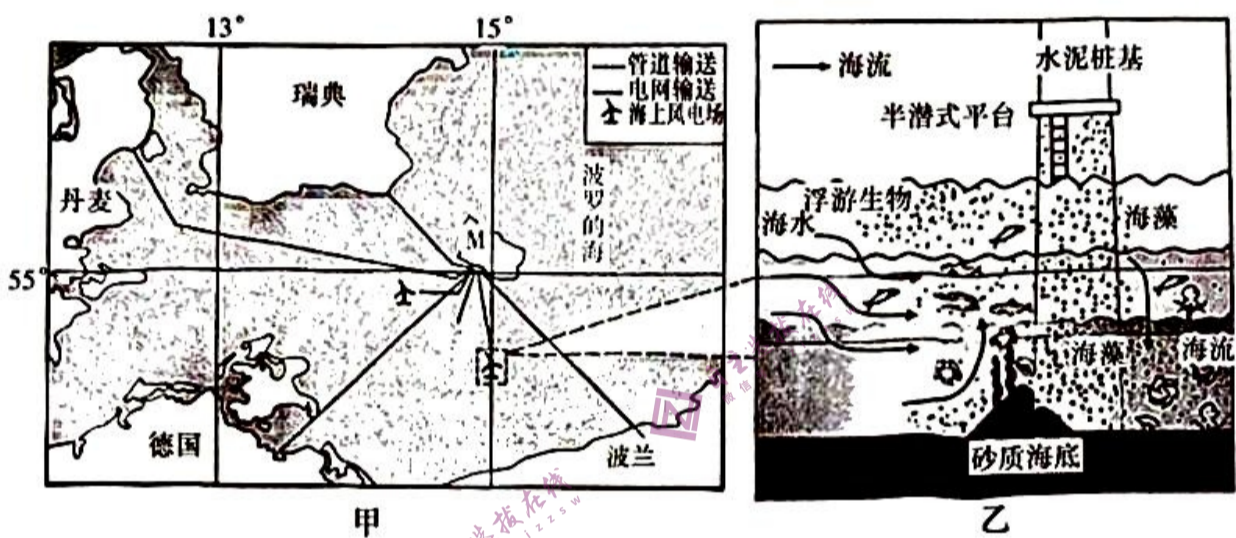
(3分)

(2) 说明该河谷沙丘增长速度的季节差异及形成过程。(5分)

(3) 分析朋曲谷地中上游河段沙丘多分布于宽谷北岸的原因。(6分)

19. 阅读图文材料,完成下列要求。(12分)

丹麦政府计划在甲图中 M 岛附近建造人工岛,并以人工岛为核心,在周围海域建设海上风电场,通过海底电缆直接与人工岛相连,电力将在岛上就地通过电转气技术制备氢气,再通过管道运输到陆地。得益于海上风机愈来愈巨型化的趋势,海上风电场所需的风机数量大幅下降。科研人员以底栖生物、鱼类、鸟类和海洋哺乳动物多样性为评价对象,通过实地调查发现风电场已成为生物群落的新栖息地。甲图示意该风电场的生产和传输,乙图示意甲图中风电场桩基附近海流及生物。



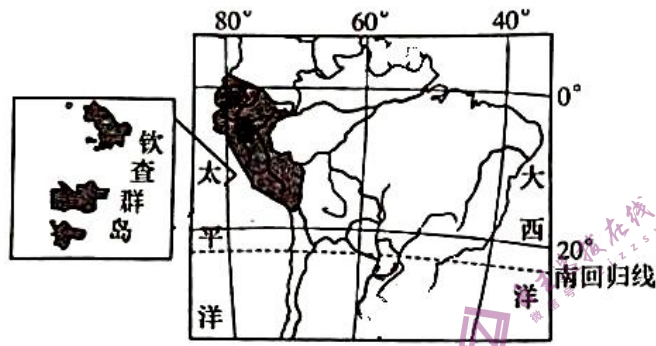
(1) 简述图中风电场建设的有利条件。(6分)

(2) 与传统风力发电网相比,简析图中风电场生产和传输的优势。(2分)

(3) 分析图中风电场成为生物群落的新栖息地的原因。(4分)

20. 阅读图文材料,完成下列要求。(12分)

秘鲁的钦查群岛总面积约 0.92 平方千米,岛上到处都是各种美丽的鸟,以及 30 多米厚的臭气熏天的鸟粪。19 世纪中期,随着工业革命的发展,欧洲国家人口快速增长,农业技术进步,对肥料的需求量增加。秘鲁就从钦查群岛开采鸟粪销往欧洲,并迅速成为南美洲的富国。与此同时,秘鲁从欧洲大量进口工业制成品。到了 19 世纪 80 年代,随着化肥的问世,秘鲁持续了 40 多年的“鸟粪经济”走到了尽头。为谋求钦查群岛的可持续发展,有人提出发展鸟粪加工业和旅游业两种建议。下图示意钦查群岛的地理位置。



(1) 推测 19 世纪中期,欧洲国家对肥料的需求量增加的原因。(4分)

(2) 指出“鸟粪经济”对秘鲁社会经济发展的意义。(4分)

(3) 请你在“有人提出发展鸟粪加工业和旅游业两种建议”中,任选一种进行分析说明。(4分)